

Zeitschrift: Bericht der Eidgenössischen Kommission zur Überwachung der Radioaktivität

Herausgeber: Eidgenössische Kommission zur Überwachung der Radioaktivität

Band: 15 (1971)

Anhang: [Abbildungen = Images]

Nutzungsbedingungen

Die ETH-Bibliothek ist die Anbieterin der digitalisierten Zeitschriften auf E-Periodica. Sie besitzt keine Urheberrechte an den Zeitschriften und ist nicht verantwortlich für deren Inhalte. Die Rechte liegen in der Regel bei den Herausgebern beziehungsweise den externen Rechteinhabern. Das Veröffentlichen von Bildern in Print- und Online-Publikationen sowie auf Social Media-Kanälen oder Webseiten ist nur mit vorheriger Genehmigung der Rechteinhaber erlaubt. [Mehr erfahren](#)

Conditions d'utilisation

L'ETH Library est le fournisseur des revues numérisées. Elle ne détient aucun droit d'auteur sur les revues et n'est pas responsable de leur contenu. En règle générale, les droits sont détenus par les éditeurs ou les détenteurs de droits externes. La reproduction d'images dans des publications imprimées ou en ligne ainsi que sur des canaux de médias sociaux ou des sites web n'est autorisée qu'avec l'accord préalable des détenteurs des droits. [En savoir plus](#)

Terms of use

The ETH Library is the provider of the digitised journals. It does not own any copyrights to the journals and is not responsible for their content. The rights usually lie with the publishers or the external rights holders. Publishing images in print and online publications, as well as on social media channels or websites, is only permitted with the prior consent of the rights holders. [Find out more](#)

Download PDF: 24.08.2025

ETH-Bibliothek Zürich, E-Periodica, <https://www.e-periodica.ch>

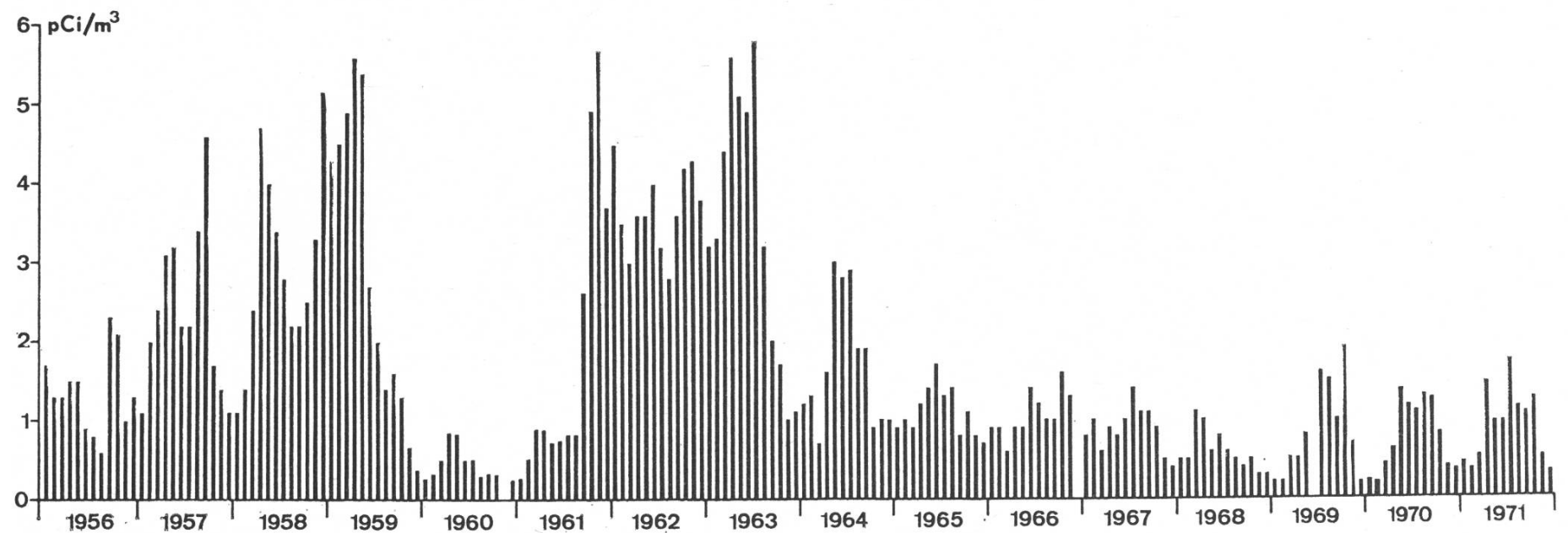


Fig. 1. Monatliche Mittelwerte der Beta-Aktivität der Luft für die Messstelle Payerne von 1956 bis 1971

Fig. 1. Moyennes mensuelles de l'activité bêta de l'air, mesurées à la station de Payerne de 1956 à 1971

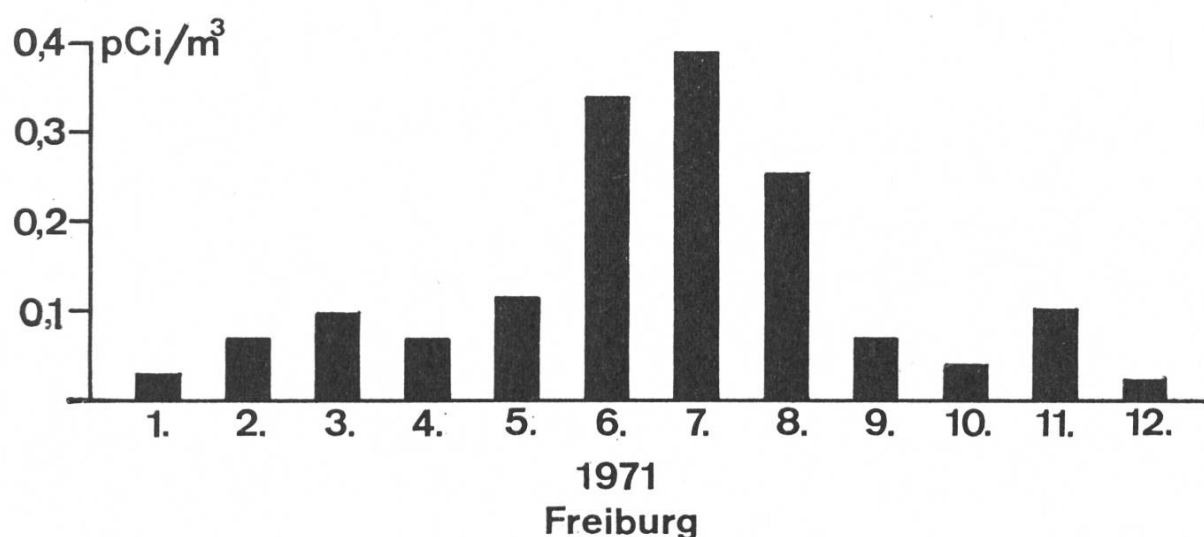
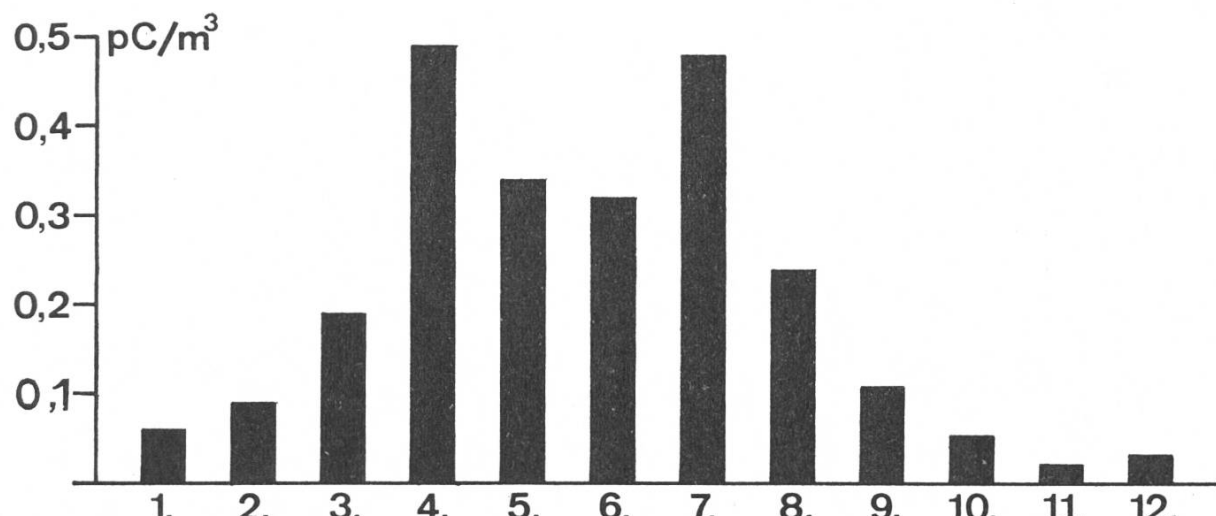
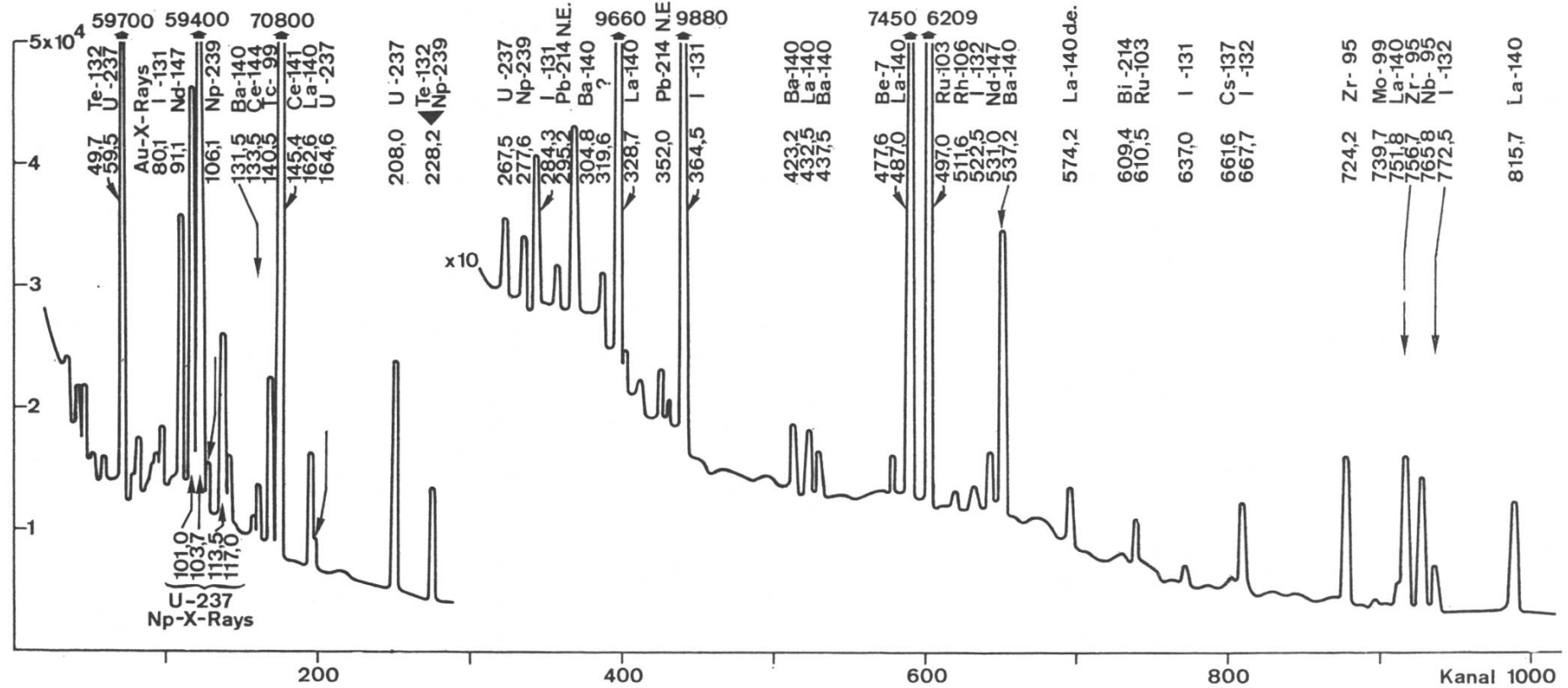


Fig. 2. Monatliche Mittelwerte der Beta-Aktivität der Luft, bezogen auf 760 mm Hg und 0° C, für die Messstellen Fribourg und Würenlingen

Fig. 2. Moyennes mensuelles de l'activité bêta de l'air, à 760 mm Hg et 0° C, mesurées aux stations de Fribourg et Würenlingen



Luftfilterprobe mit Spaltfragmenten der frz. H-Bombe vom 14.8.71, gemessen am 3./5.9.71 mit einer Ge(Li) Planardiode.

Fig. 3. Gammaspektrum einer Luftprobe der südlichen Hemisphäre, gesammelt vom 28.–30. 8. 71, gemessen vom 3.–5. 9. 71 mit einer Ge-(Li)-Planardiode

Fig. 3. Spectre gamma d'un échantillon d'air de l'hémisphère sud, collecté du 28. au 30. 8. 71, mesuré du 3. au 5. 9. 71 avec une diode planaire Ge-(Li)

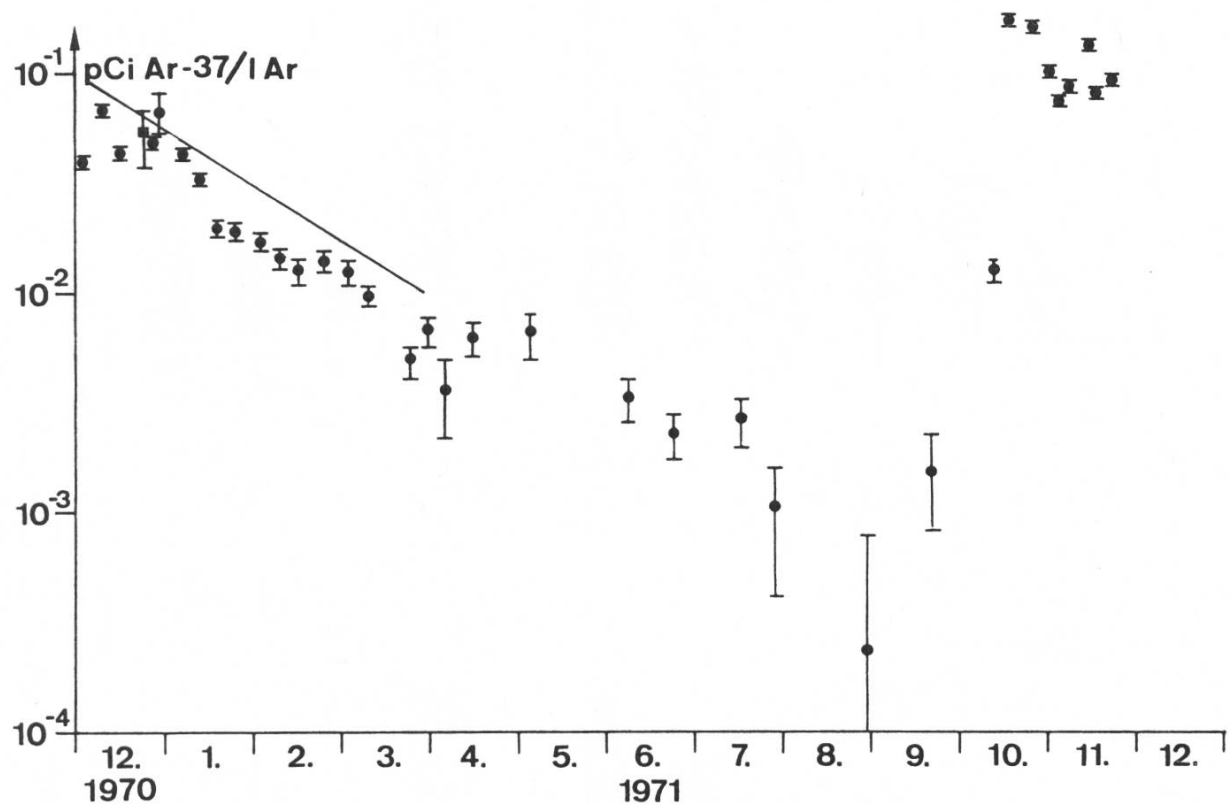


Fig. 4. Ar-37 in der Luft von Bern im Jahre 1971. Einheit: pCi/l Ar. Die ausgezogene Linie entspricht dem Zerfallsgesetz von Ar-37

Fig. 4. Ar-37 dans l'air de Berne pour l'année 1971. Unité: pCi/l Ar. Le trait oblique marque la désintégration de l'Ar-37

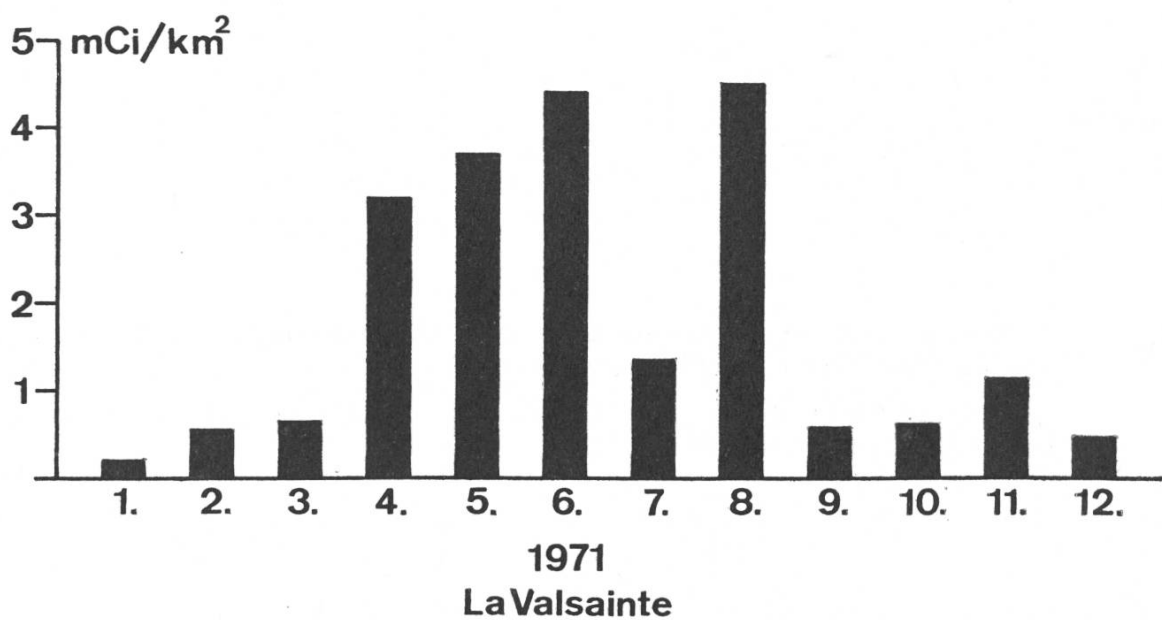
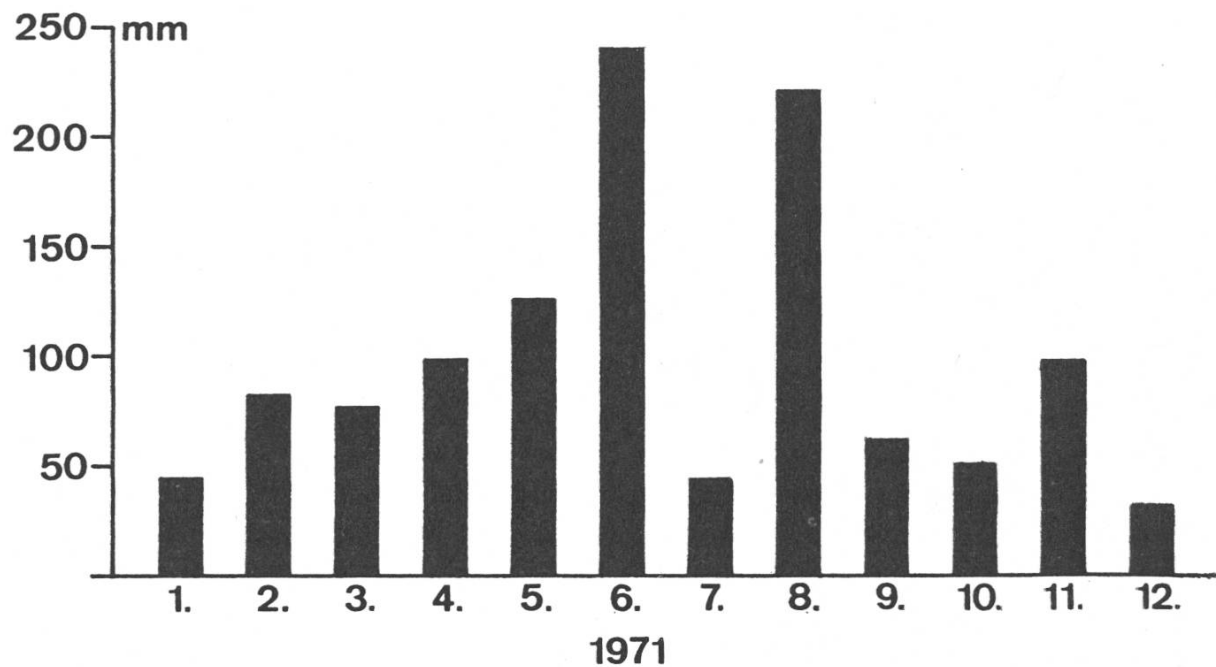


Fig. 5. Monatliche Niederschlagsmenge (oben) und monatliche, dem Erdboden durch Niederschlag zugeführte Beta-Aktivität pro km^2 Bodenfläche (unten) für die Messstelle La Valsainte

Fig. 5. Quantité mensuelle des précipitations (en haut) et activité bêta déposée mensuellement par km^2 au sol par les précipitations (en bas) pour la station de la Valsainte

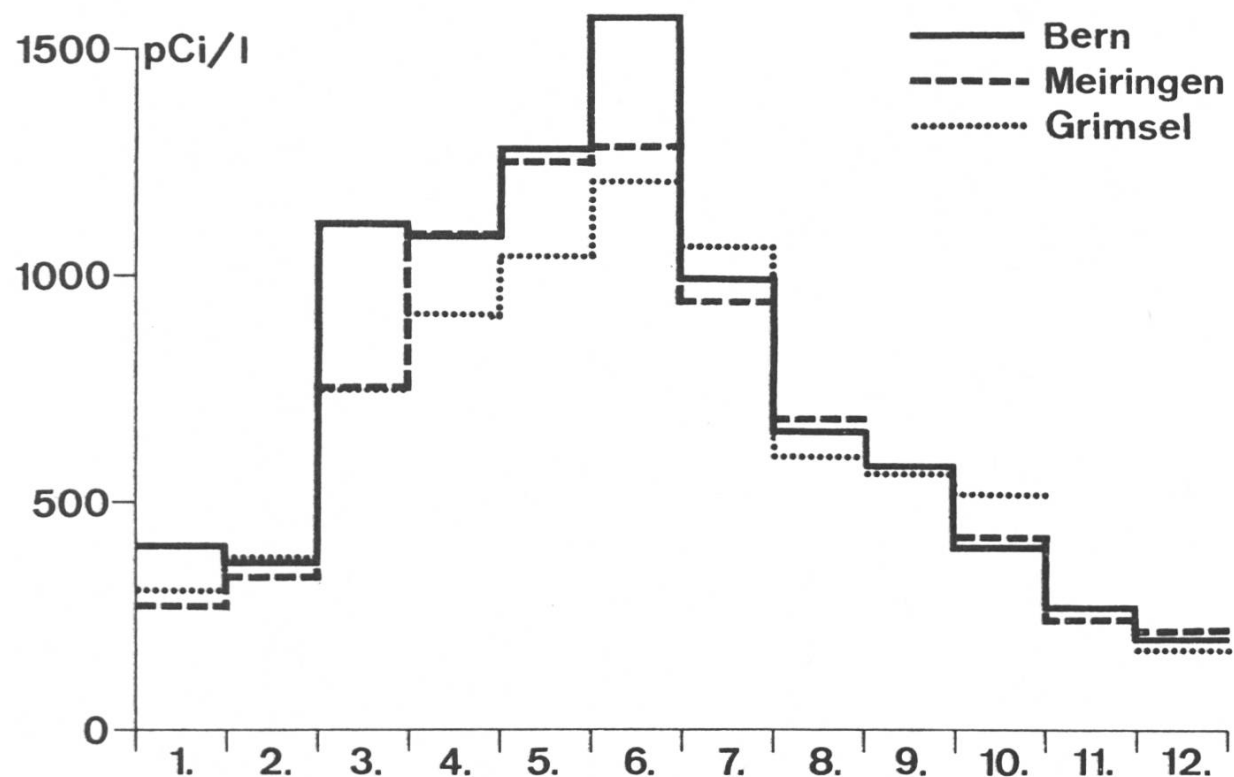


Fig. 6. Tritiumkonzentrationen in Niederschlagsproben von Bern, Grimsel und Meiringen
Fig. 6. Teneur en tritium d'échantillons de précipitations de Berne, Grimsel et Meiringen

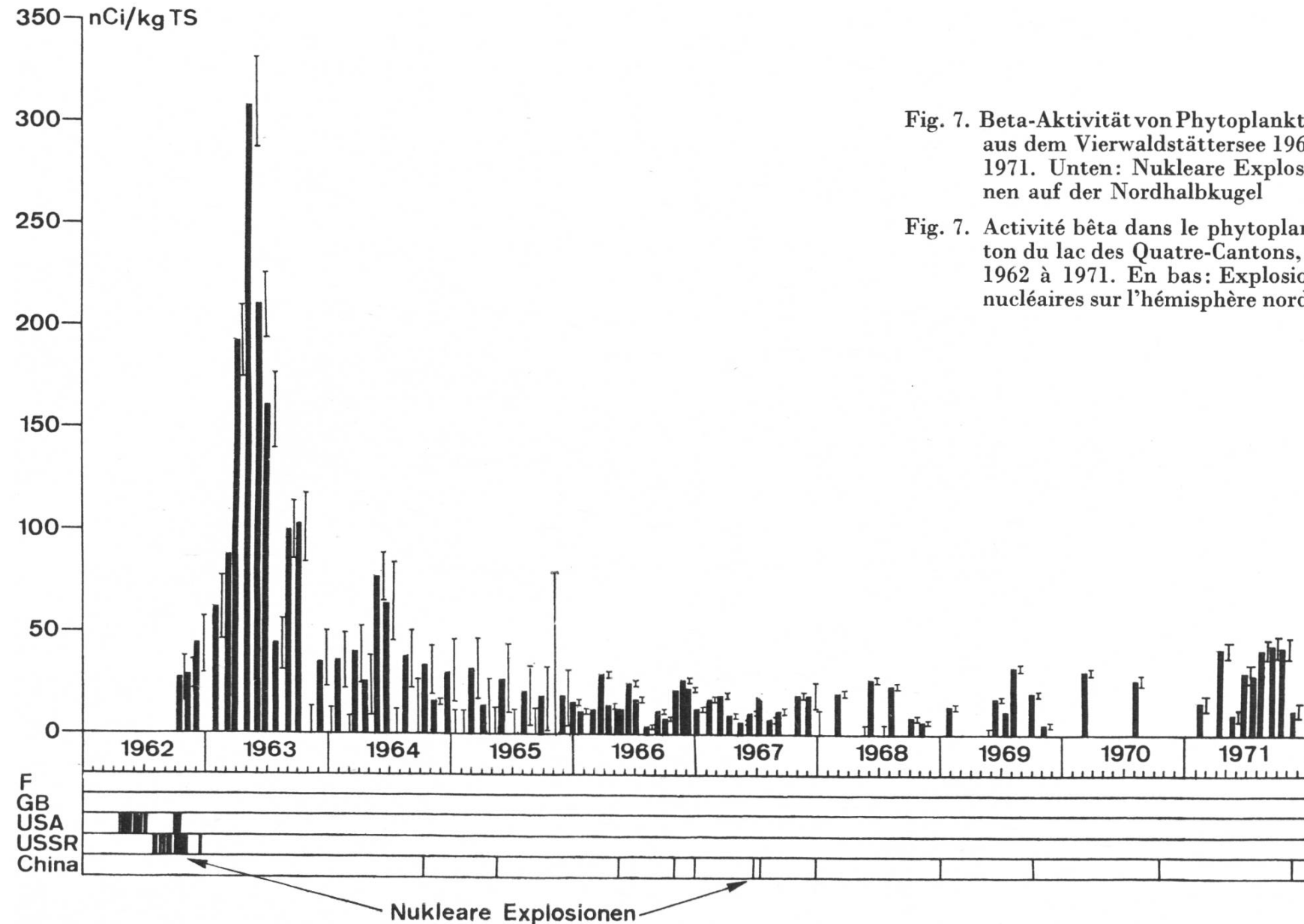


Fig. 7. Beta-Aktivität von Phytoplankton aus dem Vierwaldstättersee 1962–1971. Unten: Nukleare Explosio-
nen auf der Nordhalbkugel

Fig. 7. Activité bêta dans le phytoplanc-
ton du lac des Quatre-Cantons, de
1962 à 1971. En bas: Explosions
nucléaires sur l'hémisphère nord

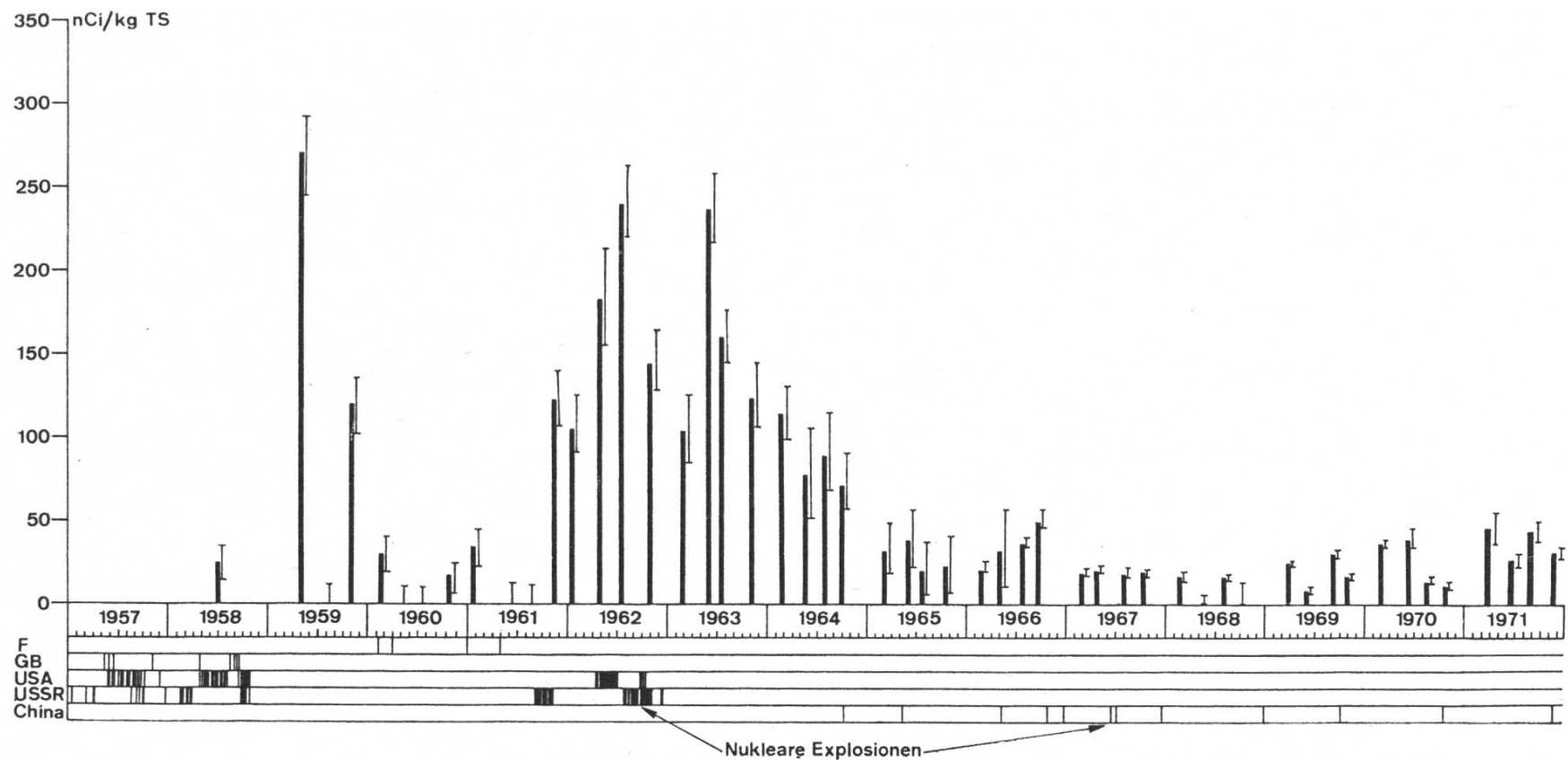
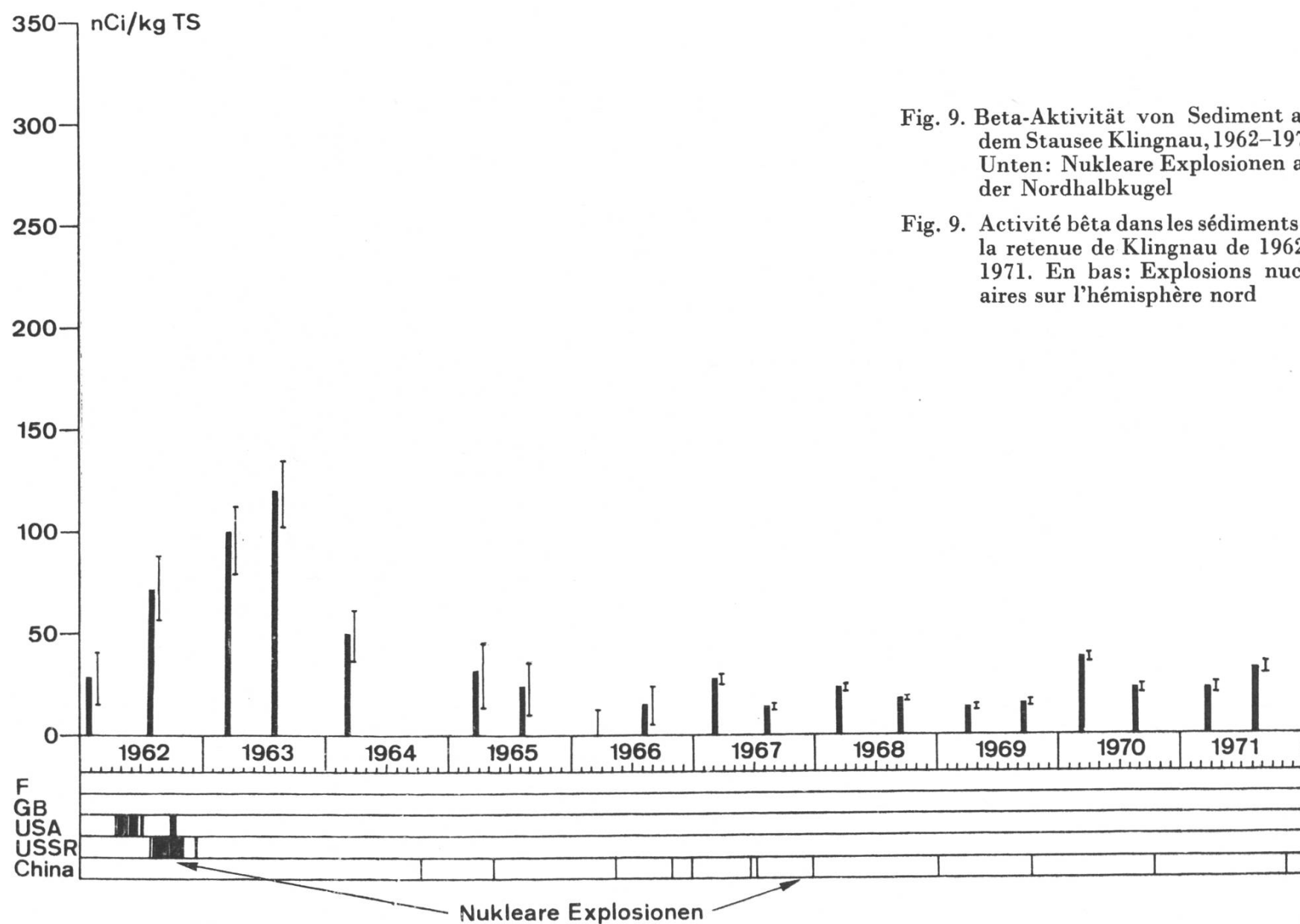


Fig. 8. Beta-Aktivität von Plankton und Schwebestoffen aus dem Stautee Klingnau 1958–1971. Unten: Nukleare Explosions auf der Nordhalbkugel

Fig. 8. Activité bêta dans le plancton et les matières suspendues de la retenue de Klingnau, de 1958 à 1971. En bas: Explosions nucléaires sur l'hémisphère nord



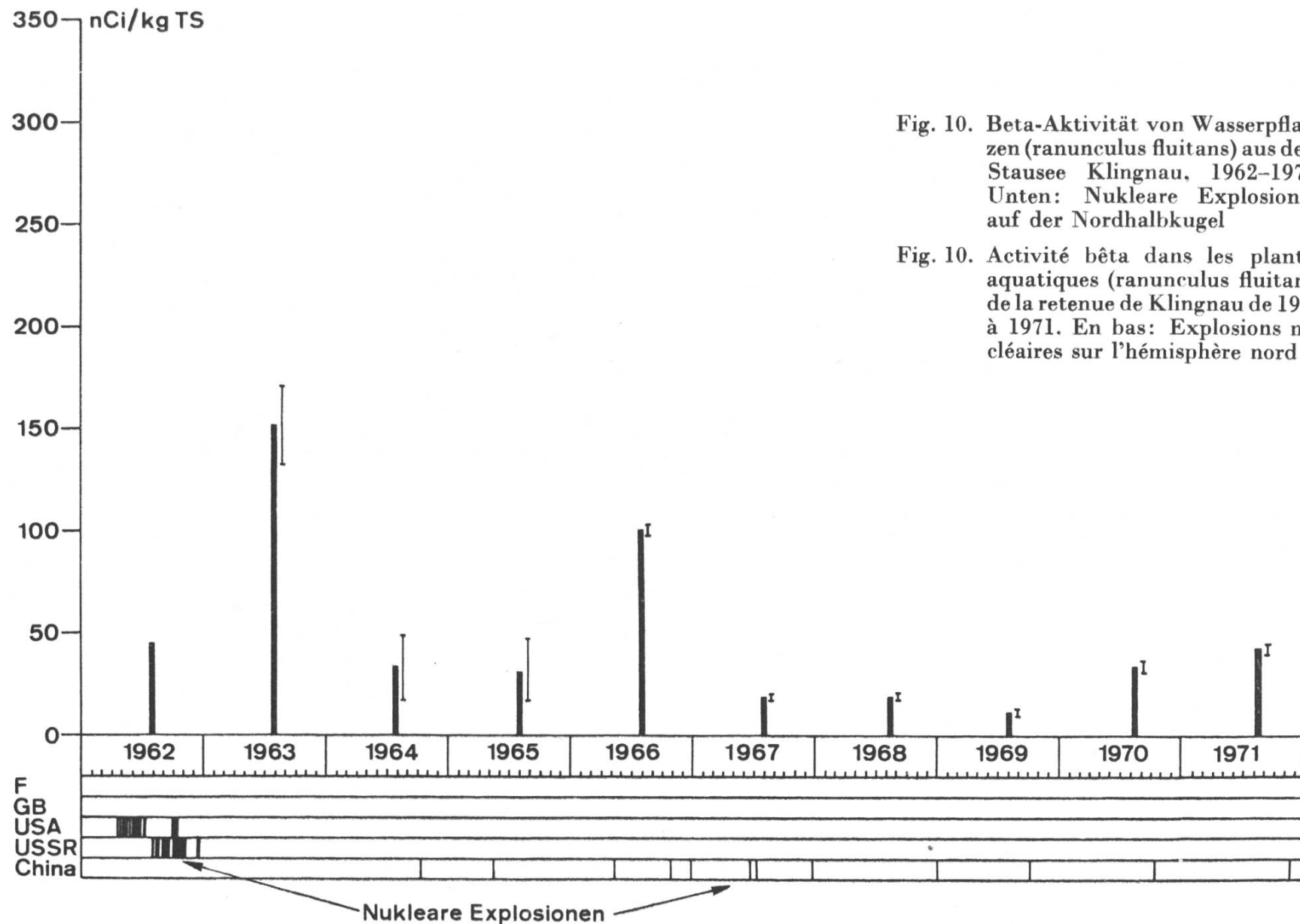


Fig. 10. Beta-Aktivität von Wasserpflanzen (*ranunculus fluitans*) aus dem Staausee Klingnau, 1962–1971.
Unten: Nukleare Explosionen auf der Nordhalbkugel

Fig. 10. Activité bêta dans les plantes aquatiques (*ranunculus fluitans*) de la retenue de Klingnau de 1962 à 1971. En bas: Explosions nucléaires sur l'hémisphère nord

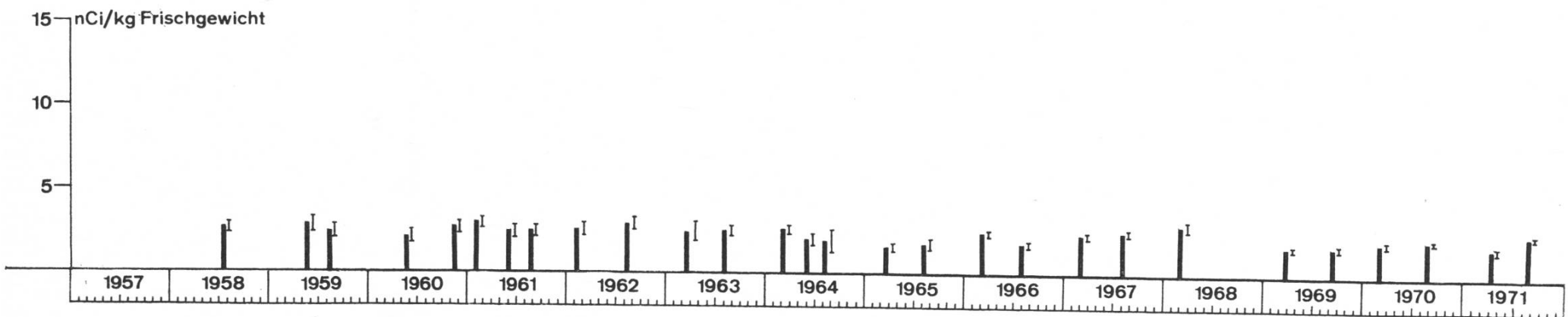


Fig. 11. Beta-Aktivität von Fleisch von Fischen aus dem Stausee Klingnau, 1958–1971

Fig. 11. Activité bêta dans la viande de poissons de la retenue de Klingnau, de 1958 à 1971

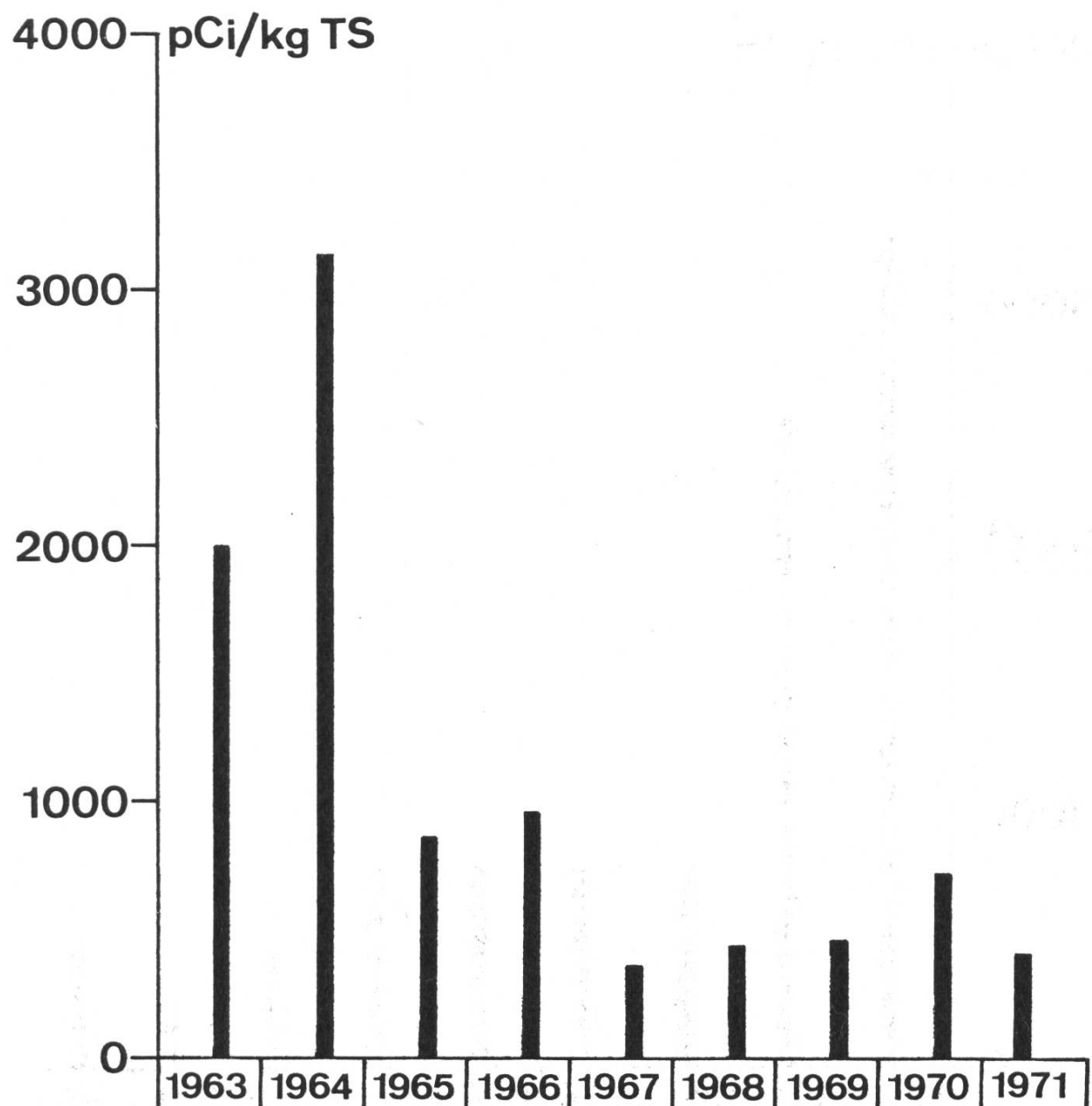


Fig. 12. Sr-90-Aktivität von Gras in der Umgebung von Würenlingen-Beznau, 1963–1971
Fig. 12. Activité du Sr-90 dans l'herbe des environs de Würenlingen-Beznau de 1963 à 1971

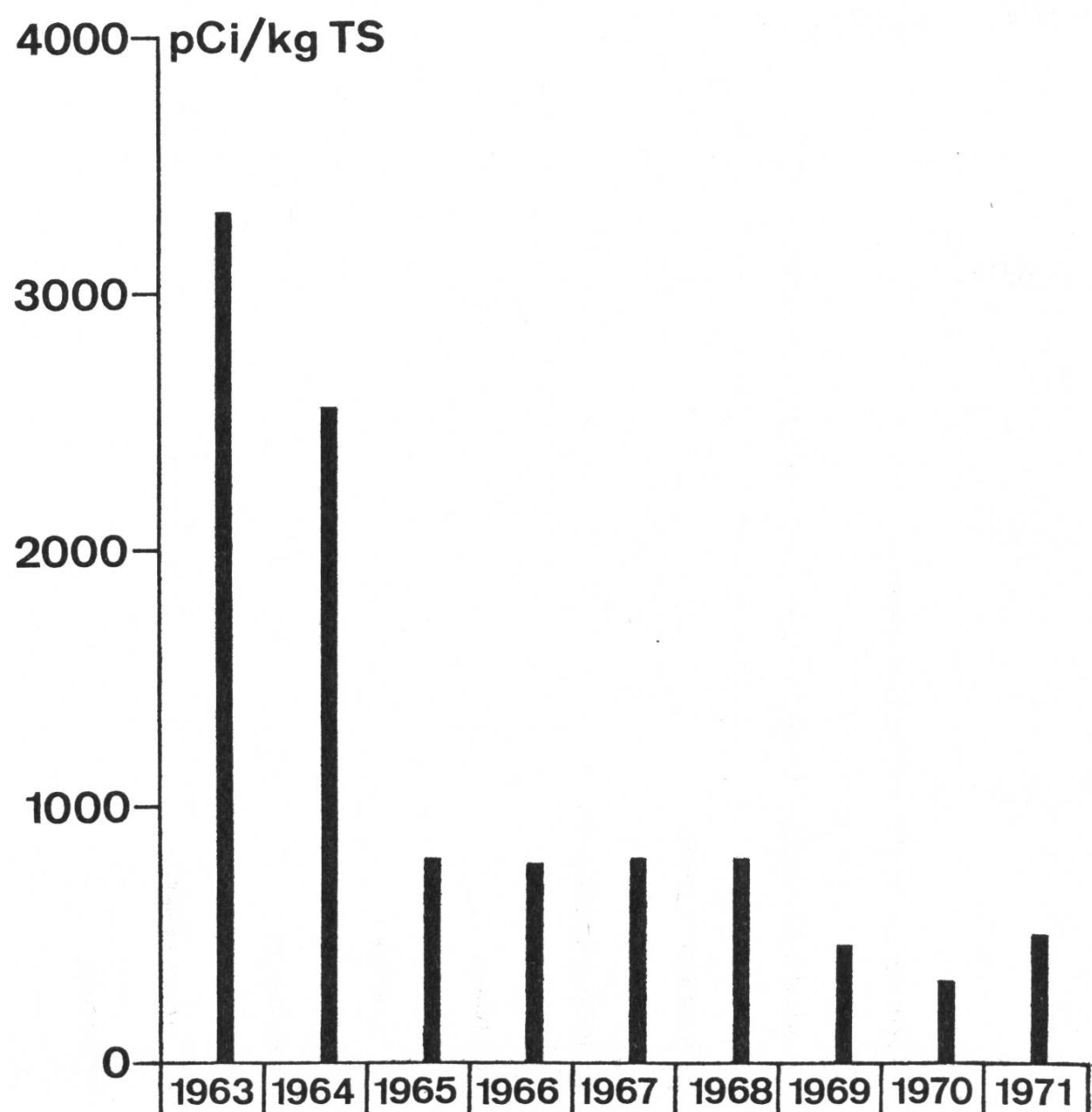


Fig. 13. Sr-90-Aktivität von Gras in der Umgebung von Lucens, 1963–1971

Fig. 13. Activité du Sr-90 dans l'herbe des environs de Lucens de 1963 à 1971

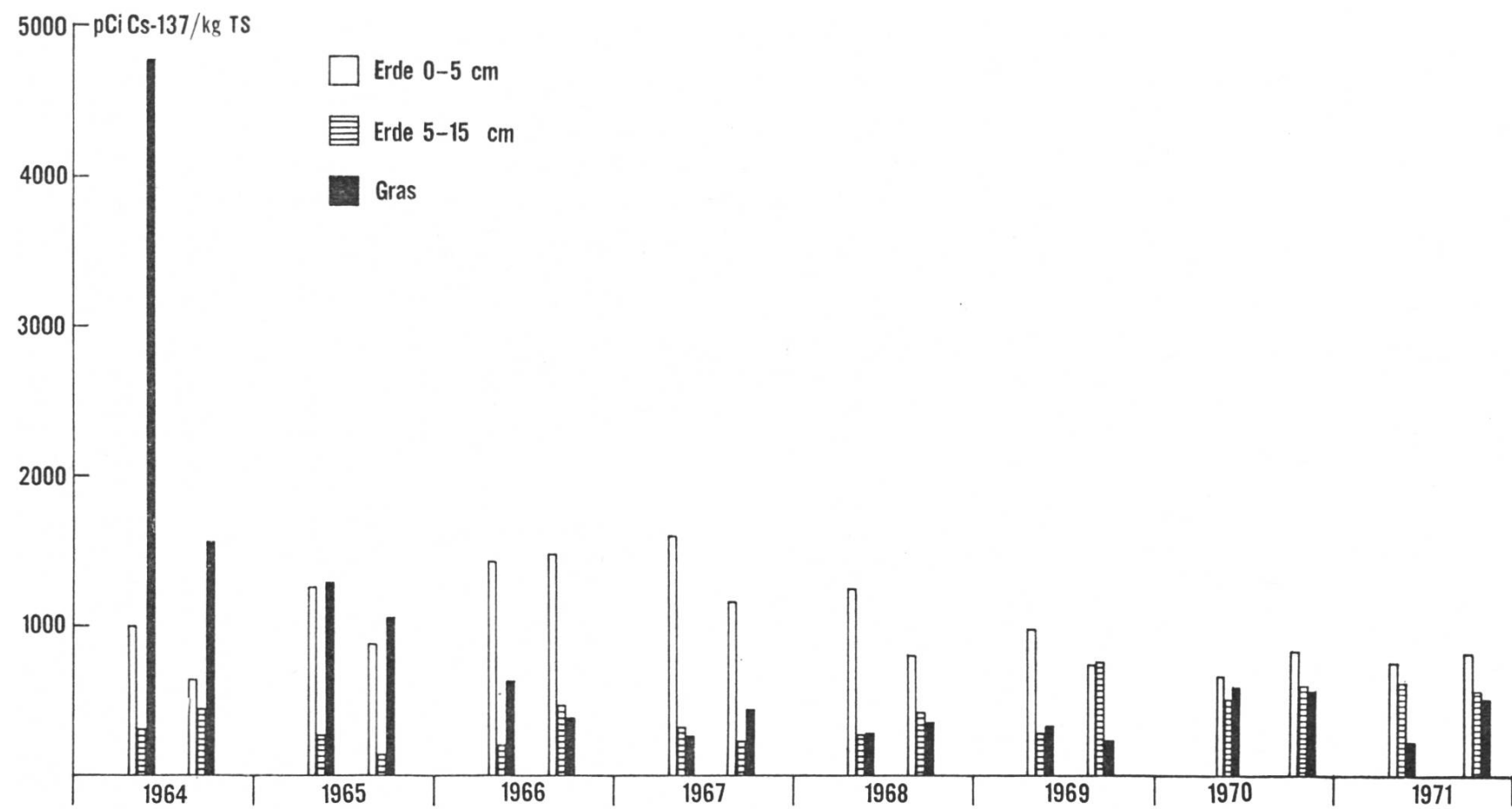


Fig. 14a. Cs-137-Aktivität von Erdboden und Gras, Arenenberg TG, 1964–1971

Fig. 14a. Activité du Cs-137 dans le sol et dans l'herbe à Arenenberg TG, de 1964 à 1971

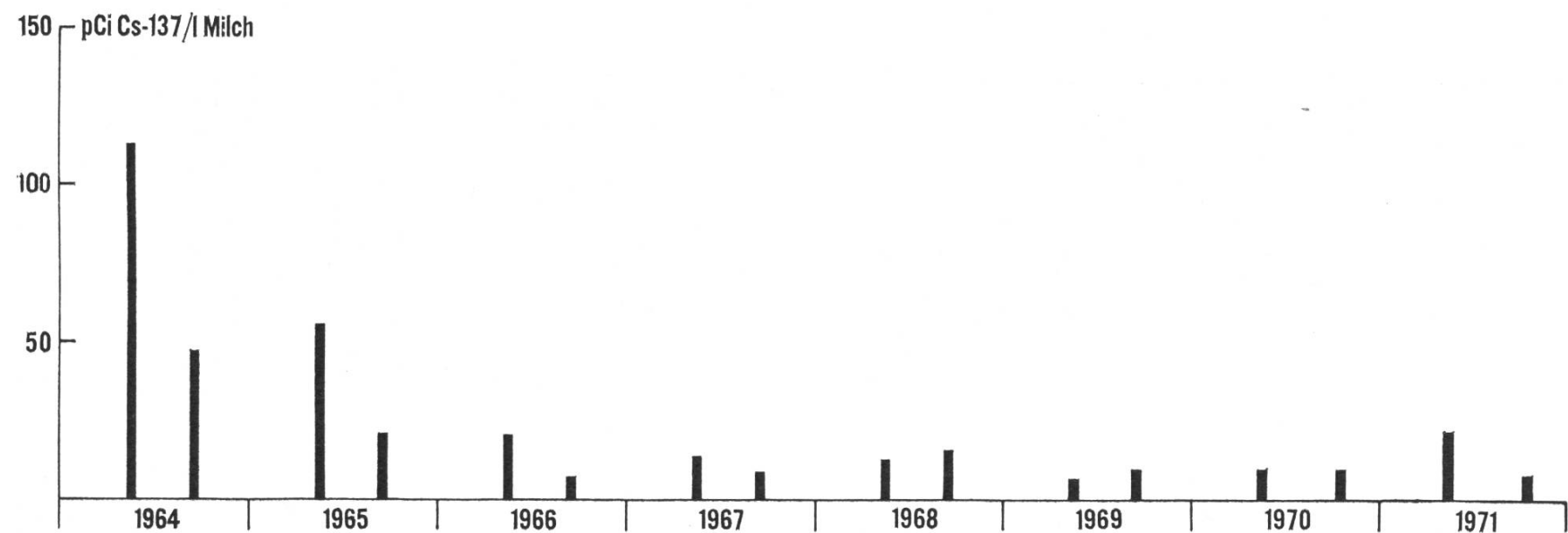


Fig. 14b. Cs-137-Aktivität von Milch, Arenenberg TG, 1964–1971

Fig. 14b. Activité du Cs-137 dans le lait à Arenenberg TG, de 1964 à 1971

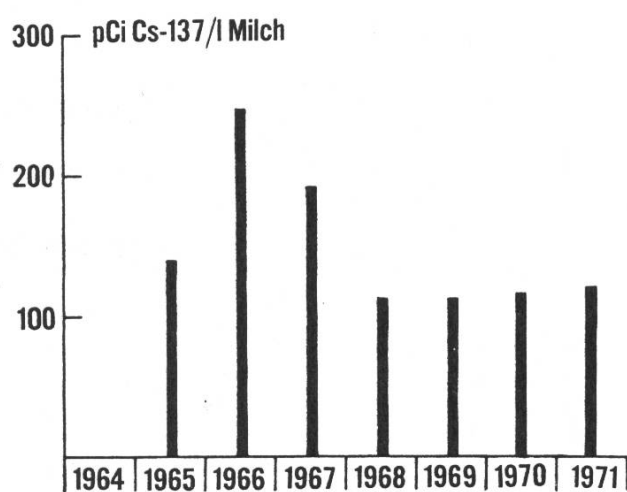
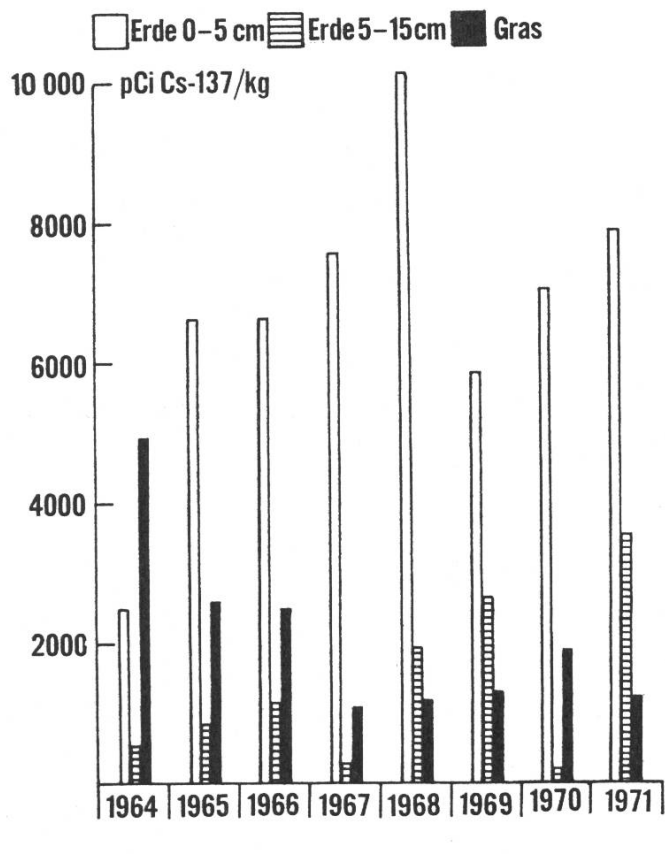
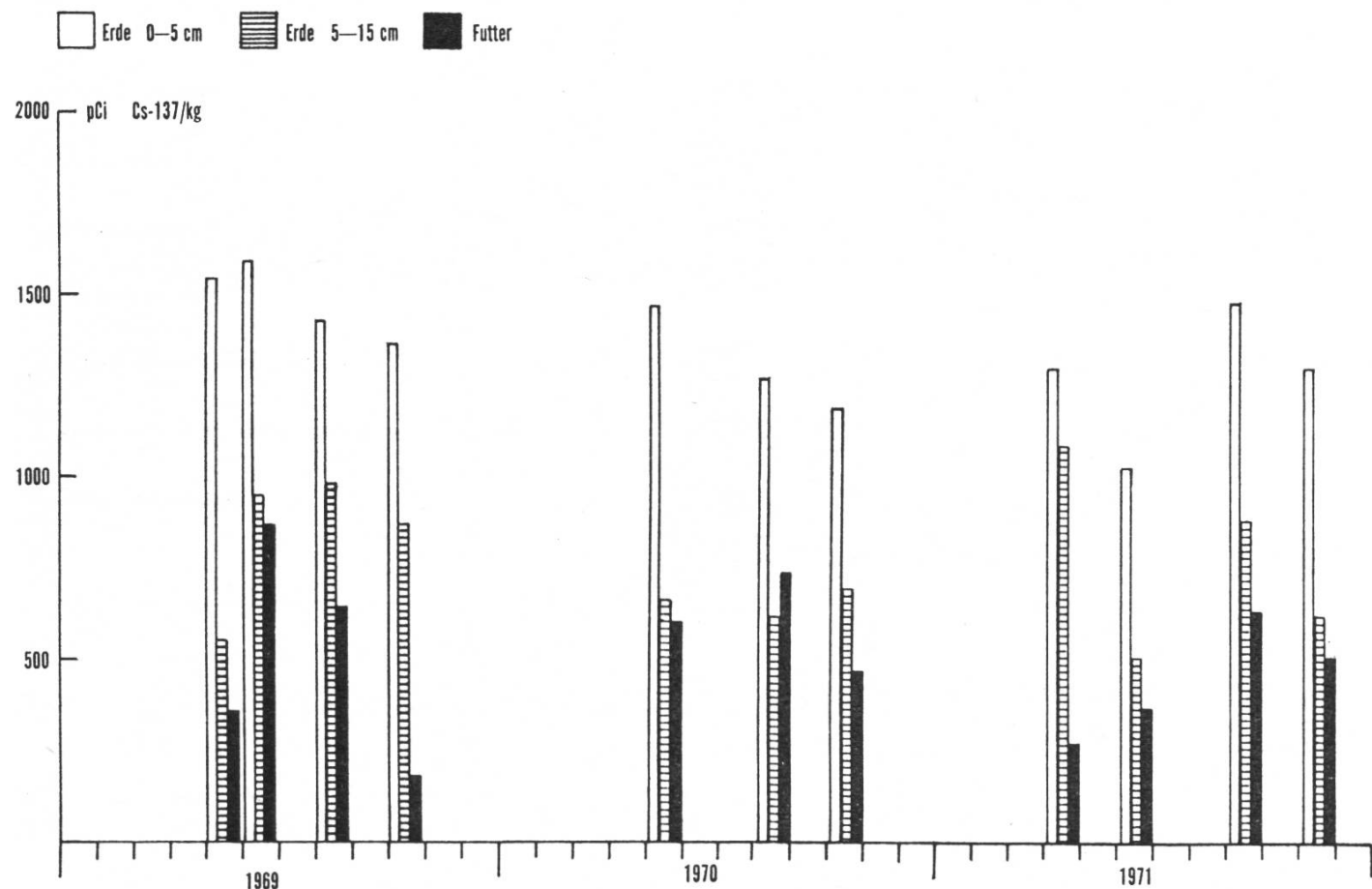


Fig. 15. Cs-137-Aktivität von Erdboden, Gras und Milch, Davos-Stillberg GR, 1964–1971

Fig. 15. Activité du Cs-137 dans le sol, dans l'herbe et dans le lait à Davos-Stillberg, de 1964 à 1971



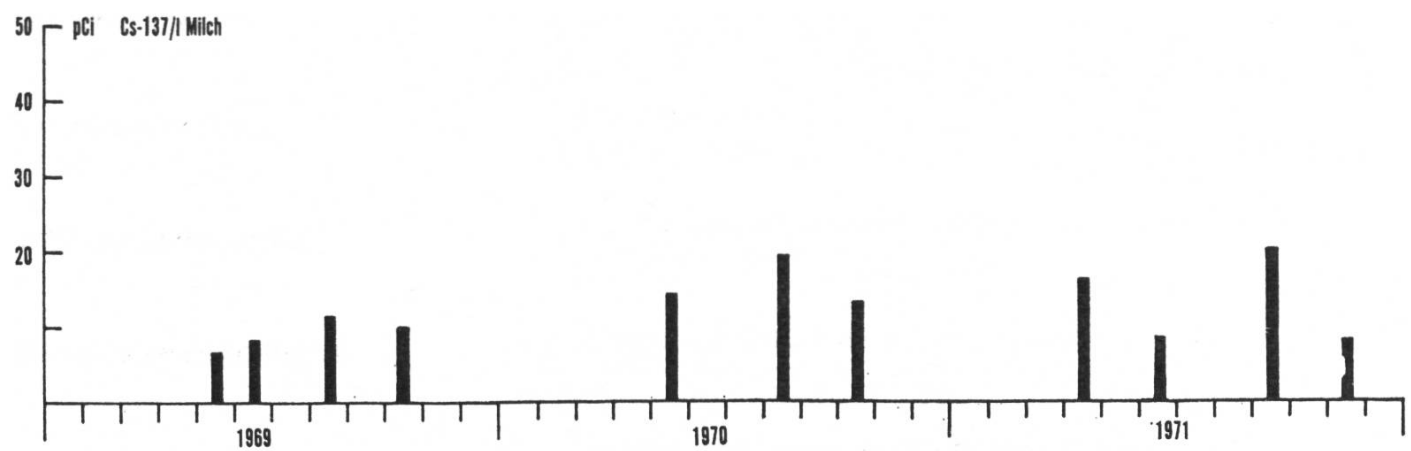


Fig. 16. Cs-137-Aktivität von Erdboden, Futter und Milch, Grangeneuve, 1969–1971

Fig. 16. Activité du Cs-137 dans le sol, dans le fourrage et dans le lait à Grangeneuve, de 1969 à 1971

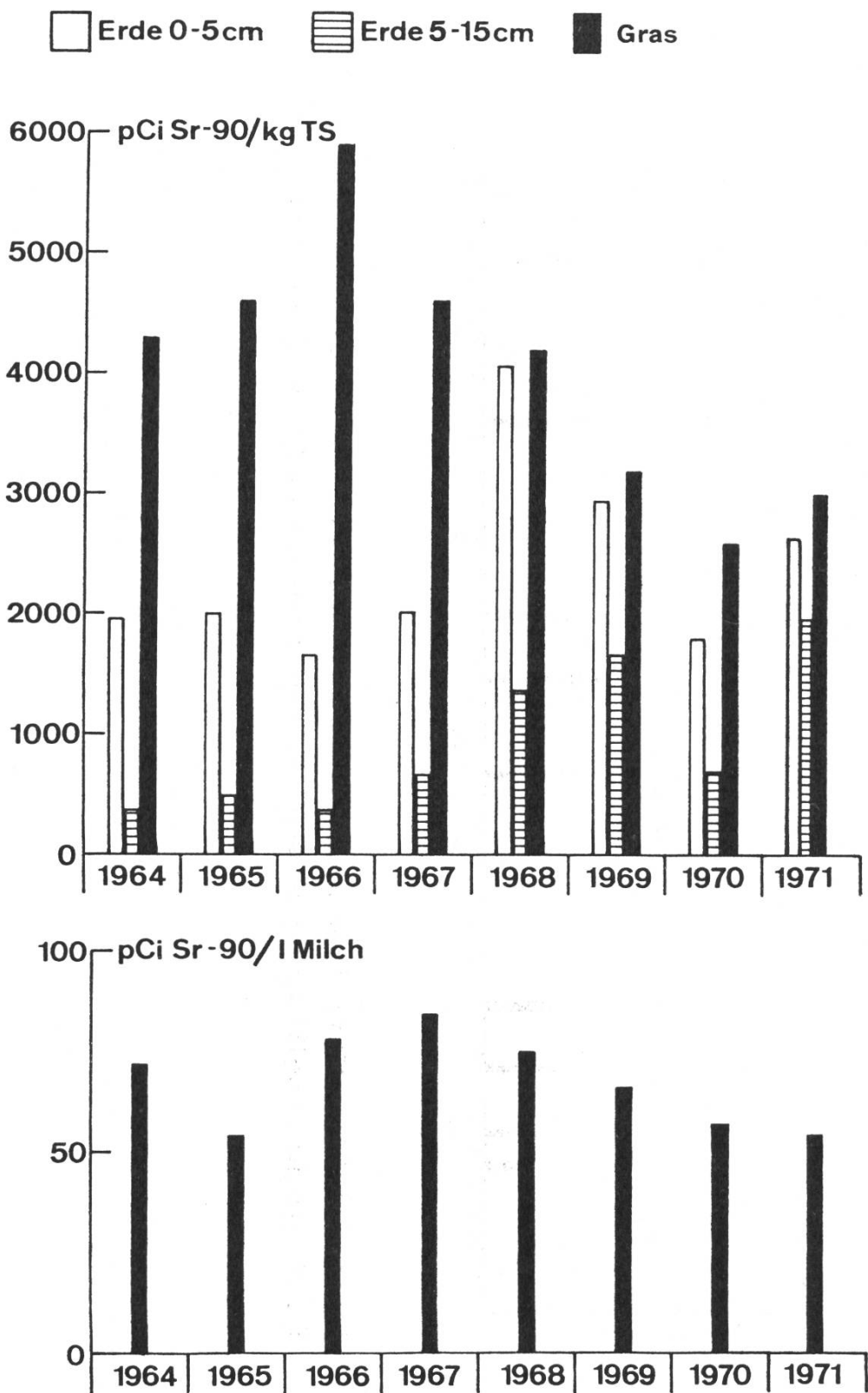


Fig. 17. Sr-90-Aktivität von Erdboden, Gras und Milch, Davos-Stillberg, 1964–1971

Fig. 17. Activité du Sr-90 dans le sol, dans l'herbe et dans le lait à Davos-Stillberg, de 1964 à 1971

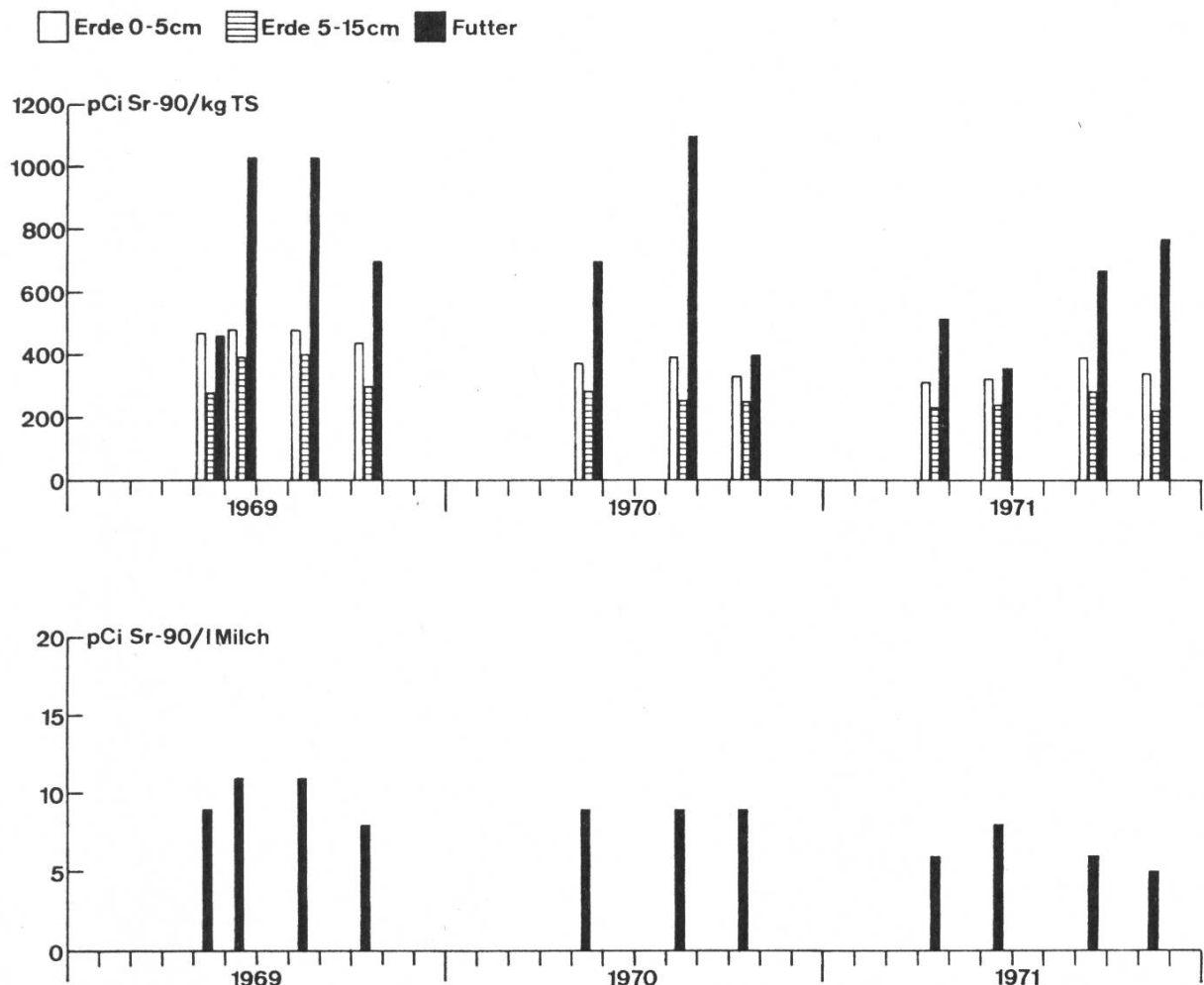
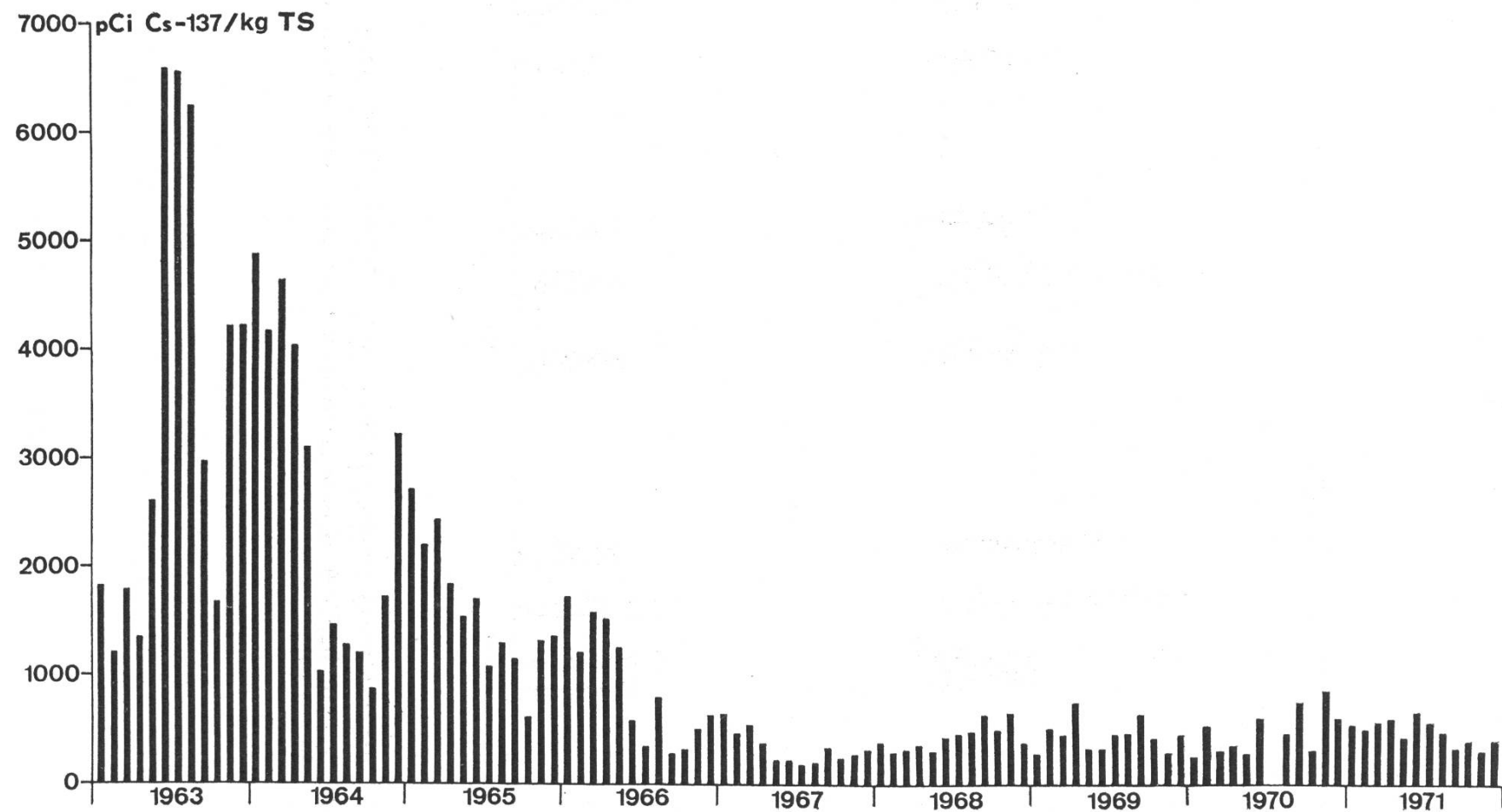


Fig. 18. Sr-90-Aktivität von Erdboden, Futter und Milch, Grangeneuve, 1969–1971

Fig. 18. Activité du Sr-90 dans le sol, dans le fourrage et dans le lait à Grangeneuve, de 1969 à 1971



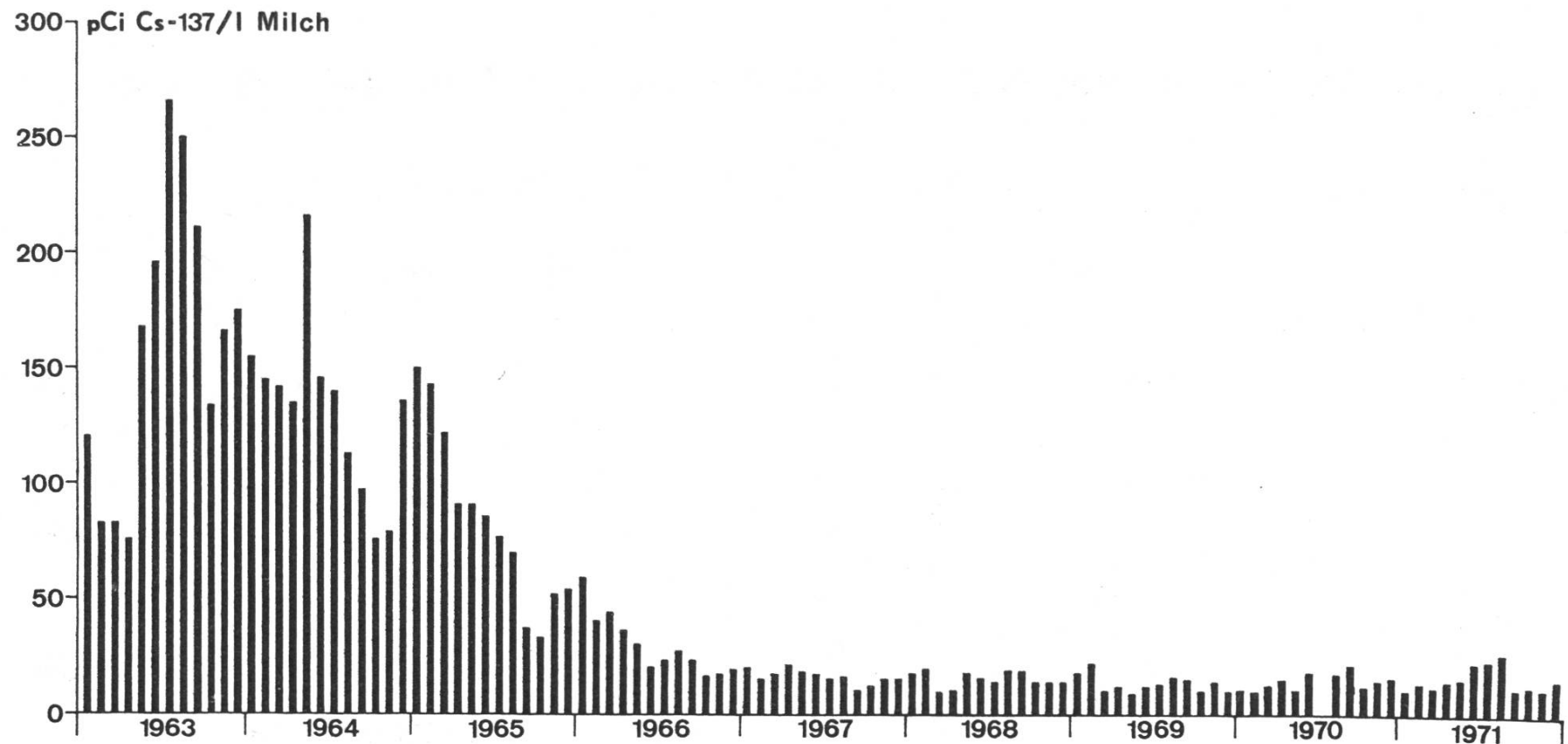


Fig. 19. Oben: Cs-137-Gehalt von Viehfutter (monatliche Probenahme), Ostschweiz, 1963–1971. Unten: Cs-137-Gehalt von Milch (monatliche Probenahme zwei Tage nach derjenigen des Futters), Ostschweiz, 1963–1971

Fig. 19. En haut: Teneur en Cs-137 du fourrage (prélèvement mensuel d'échantillons), Suisse orientale de 1963 à 1971
 En bas: Teneur en Cs-137 du lait (prélèvement d'échantillons deux jours après celui du fourrage), Suisse orientale de 1963 à 1971

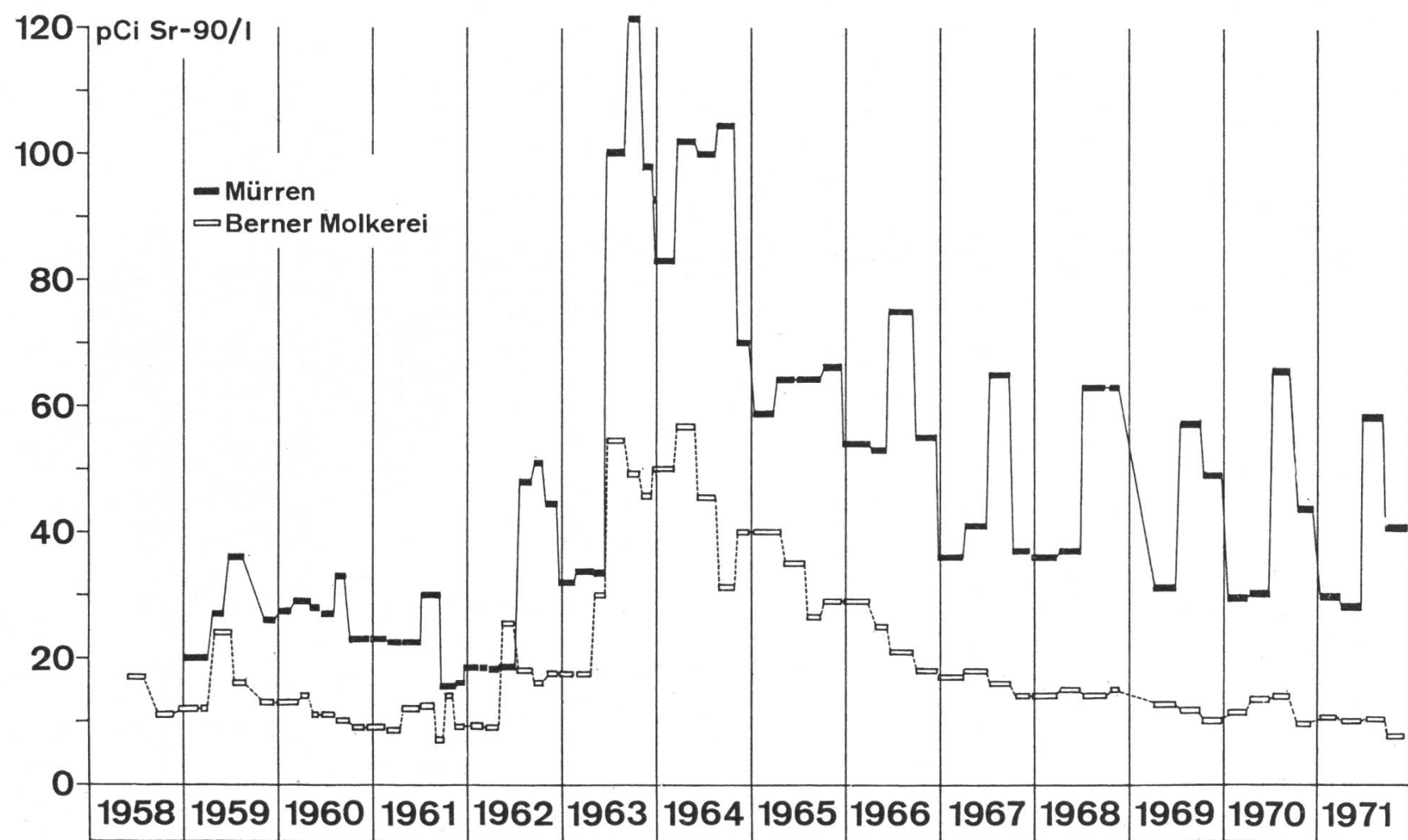


Fig. 20. Sr-90-Aktivität von Frischmilch aus dem Flachland (Bern, 540 m) und aus einer Höhenlage (Mürren 1650 m) für die Jahre 1958–1971

Fig. 20. Activité du Sr-90 dans le lait frais de plaine (Berne, 540 m) et de montagne (Mürren, 1650 m) pour les années 1958 à 1971

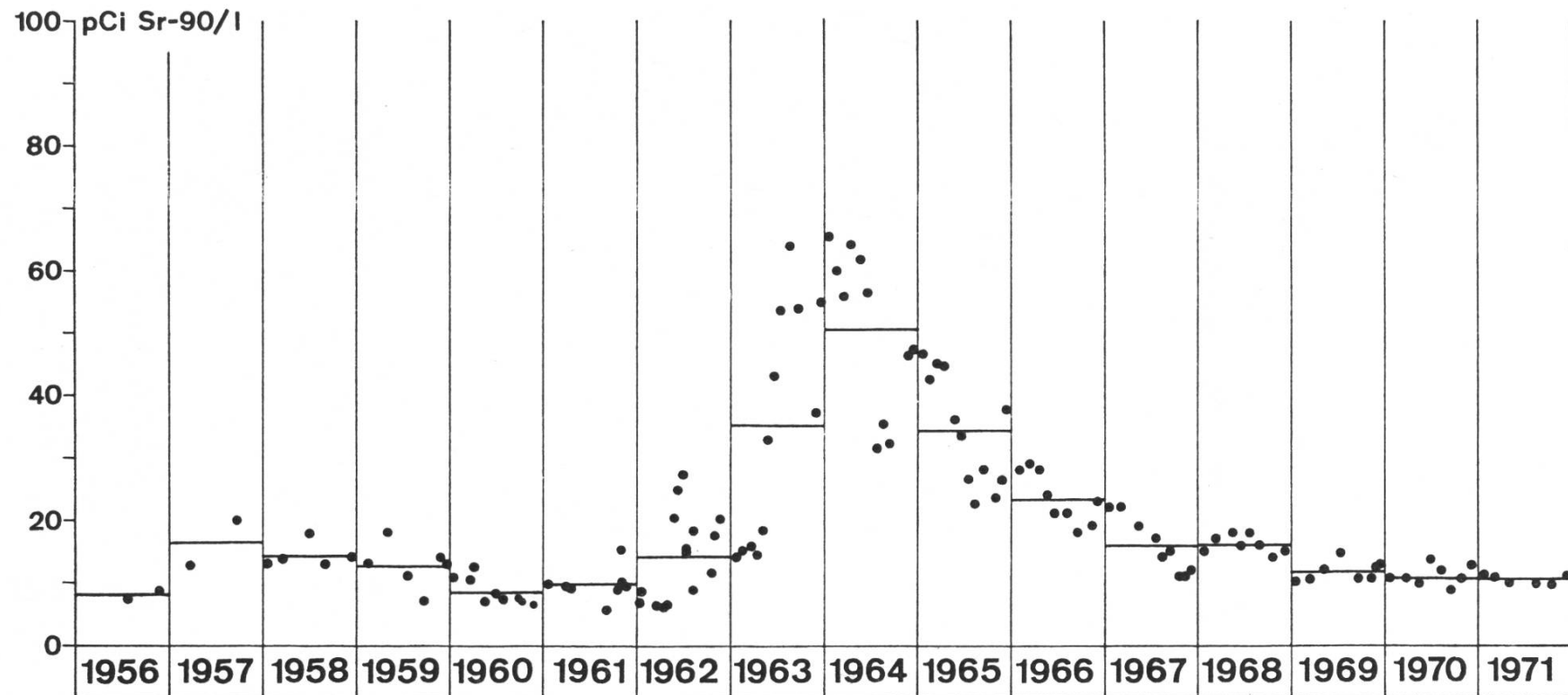


Fig. 21. Sr-90-Aktivität von Trockenmilch aus dem Kanton Waadt von 1956–1971. Angaben in pCi/l Frischmilch

Fig. 21. Activité du Sr-90 dans le lait en poudre du canton de Vaud pour les années 1956 à 1971. Données en pCi/l lait frais

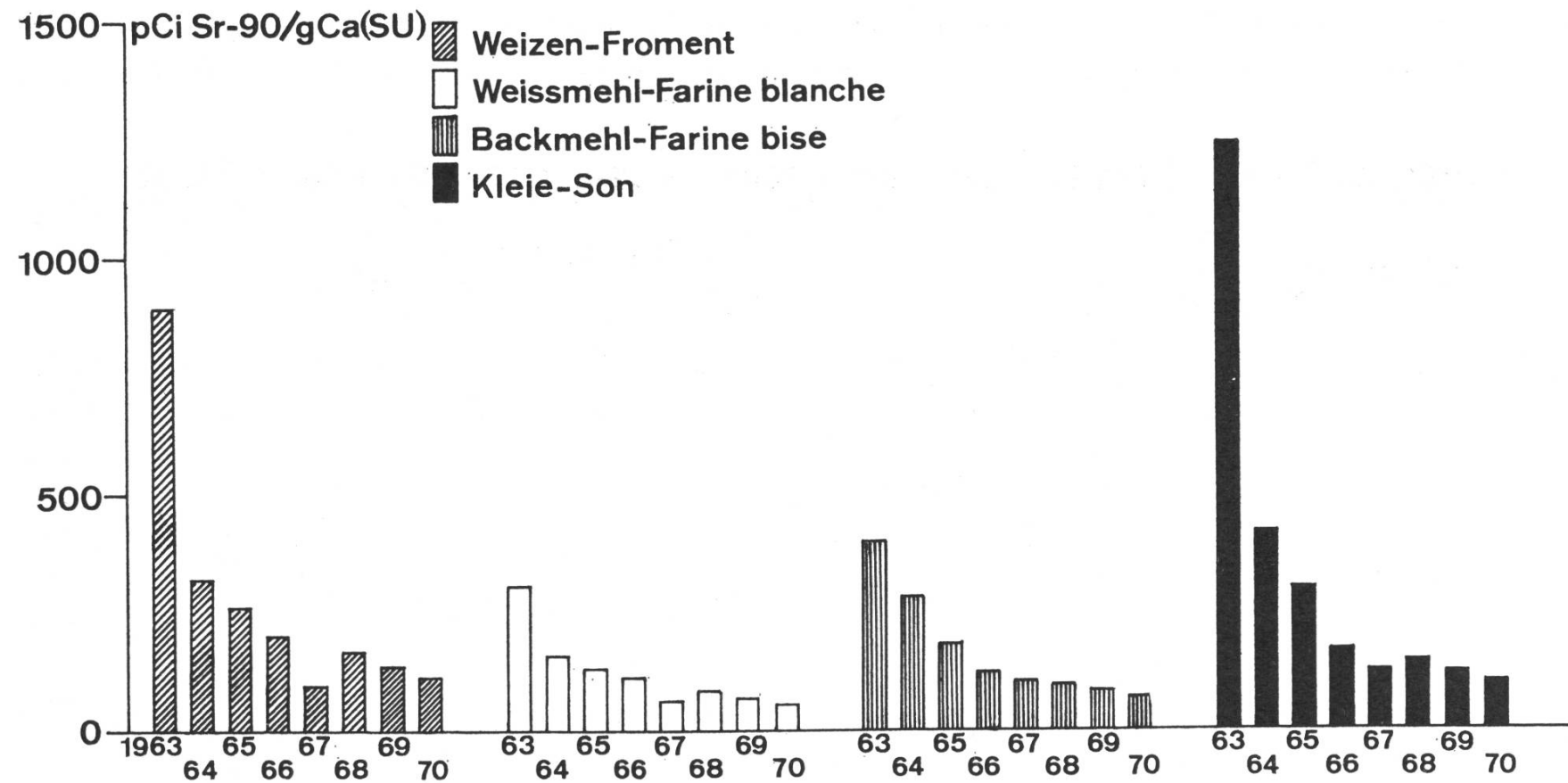


Fig. 22. Sr-90-Aktivität pro g Kalzium von Weizen und Weizenmahlprodukten, gemittelt über 7 Herkunftsstellen für die Jahre 1963–1970

Fig. 22. Activité du Sr-90 dans le froment et ses produits de mouture en pCi Sr-90 par g calcium. Moyennes de sept provenances, pour les années 1963 à 1970

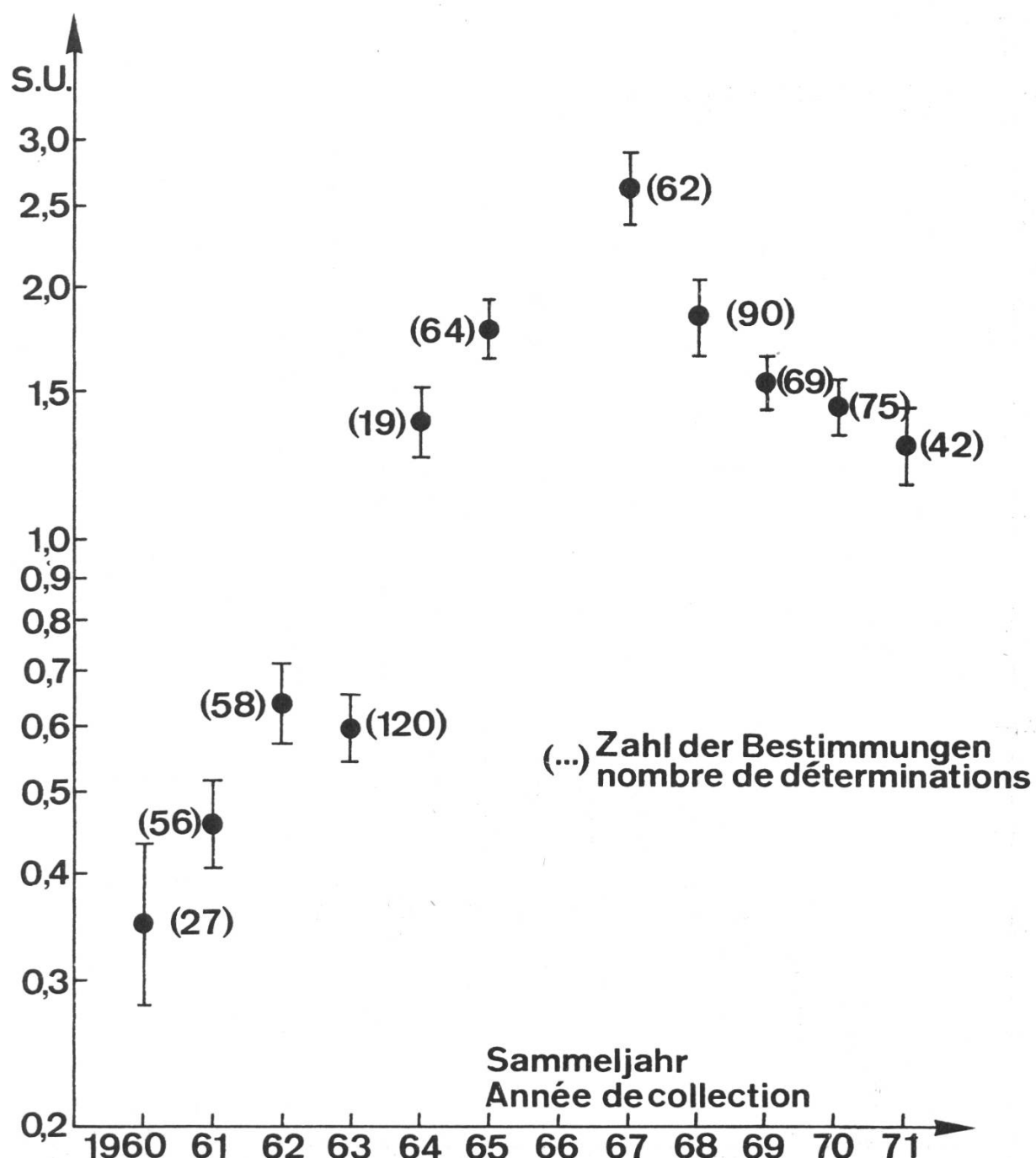


Fig. 23. Sr-90-Analyse von Knochen Erwachsener für die Jahre 1960–1971, in Sr-Einheiten (pCi Sr-90/g Ca). In Klammern: Zahl der ausgeführten Analysen. Mittelwerte mit Normalisationsfaktoren

Fig. 23. Analyse du Sr-90 dans les os d'adultes pour les années 1960 à 1971, en unités de Sr (pCi Sr-90/g Ca). Entre parenthèses: nombre d'analyses effectuées. Moyennes avec facteur de normalisation

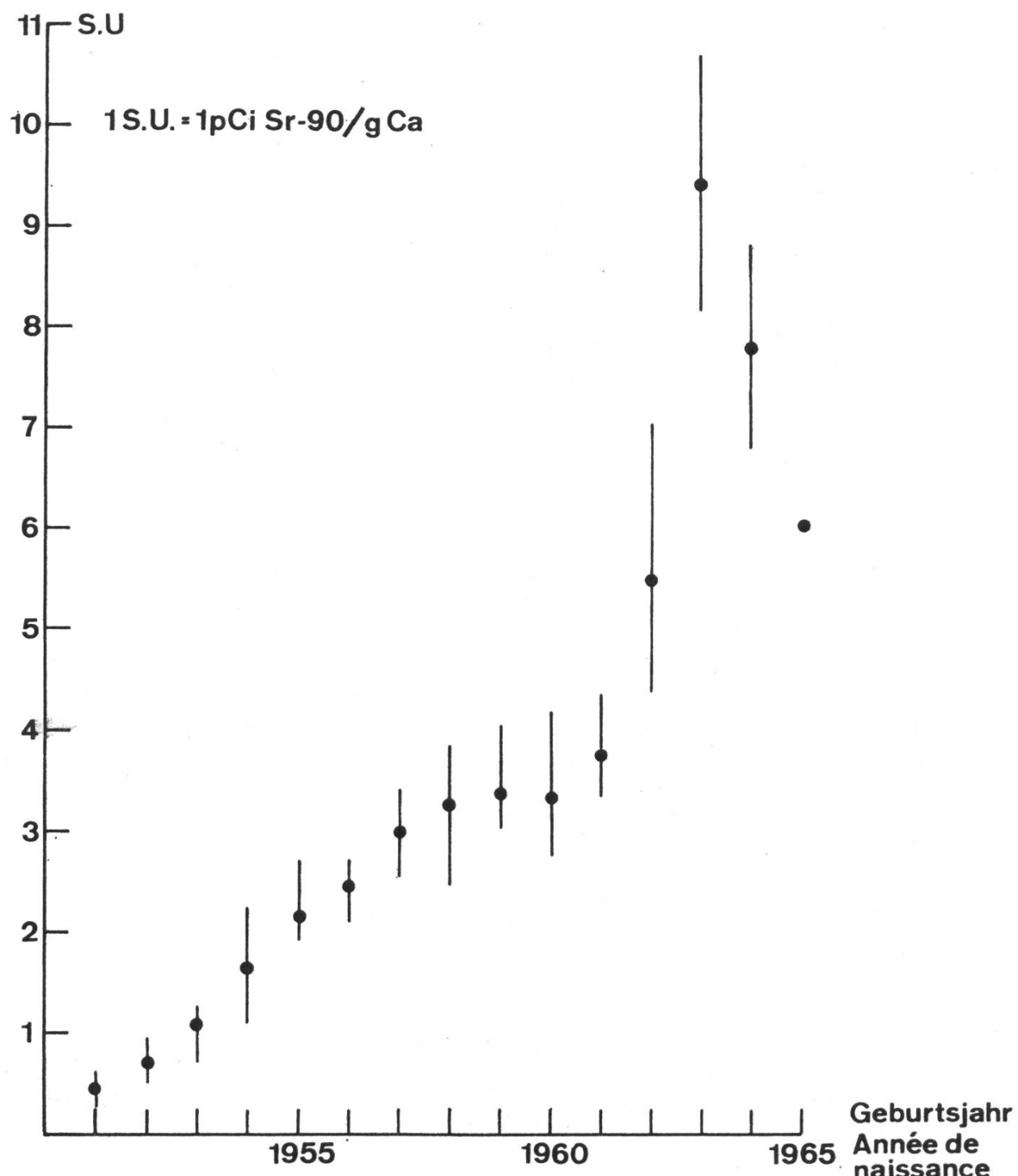


Fig. 24. Sr-90-Aktivität in Milchzähnen, gesammelt von 1961 bis 1970, in Strontium-Einheiten. Die Punkte bedeuten die Mittelwerte, die Striche erstrecken sich vom tiefsten zum höchsten Mittelwert der jährlichen Messreihen

Fig. 24. Activité du Sr-90 dans les dents du lait, prélevées de 1961 à 1970, en unités de strontium. Les points représentent les moyennes globales, les traits vont de la moyenne minimale à la moyenne maximale des séries de mesures annuelles

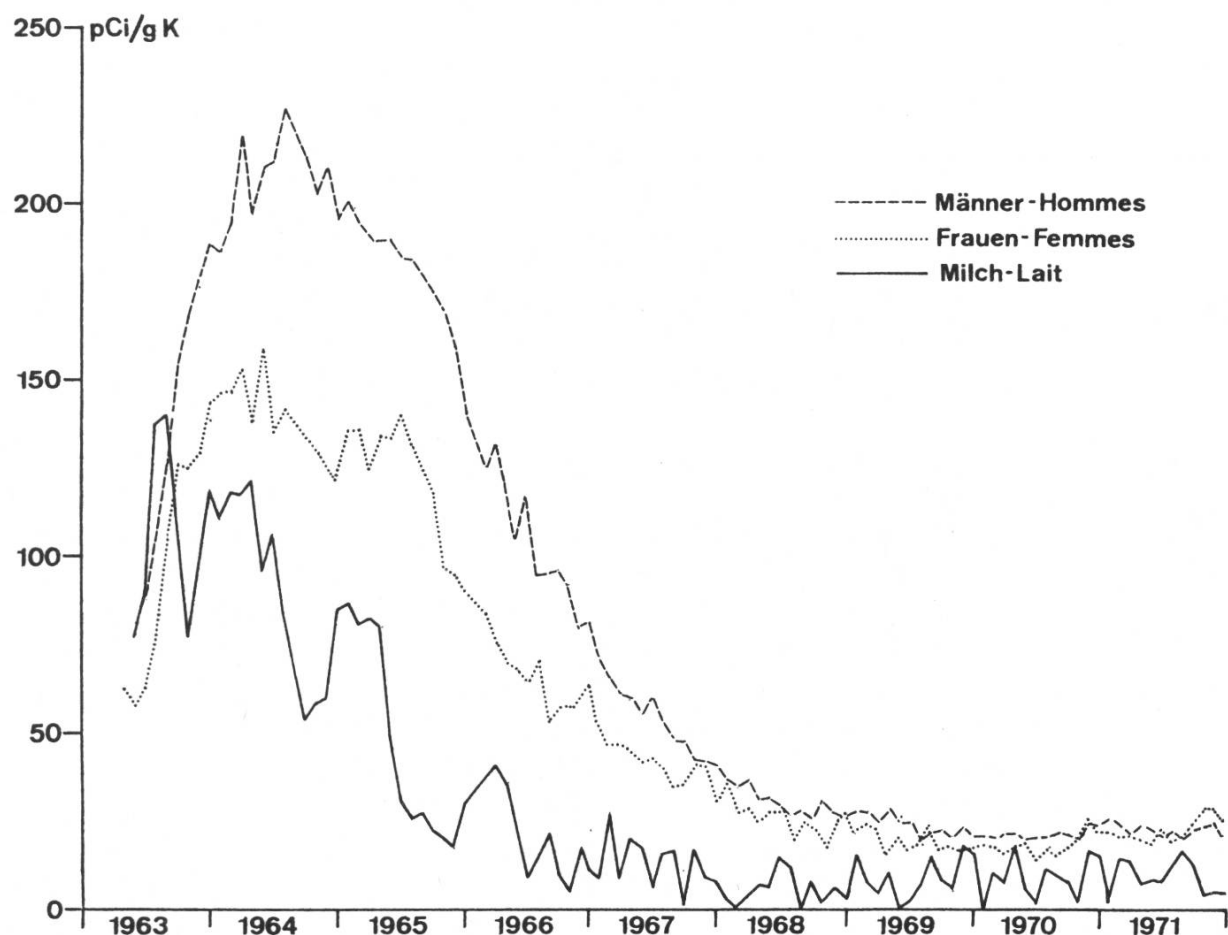


Fig. 25. Cs-137-Aktivität im menschlichen Körper und in der Milch, Messungen mit dem Anthropo-Spektrometer, Genf, 1963–1971

Fig. 25. Activité du Cs-137 dans le corps humain et dans le lait, mesures effectuées à l'anthropo-spectromètre de Genève, de 1963 à 1971